

01; 04

## РАССЛОЕНИЕ ГАЗОРАЗРЯДНОЙ ПЛАЗМЫ В ЭЛЕКТРООТРИЦАТЕЛЬНЫХ ГАЗАХ

Л. Д. Цендин

Показано, что расслоение на области электрон-ионной и ион-ионной плазмы является достаточно общим свойством бестоковой неизотермической (с  $T_e > T_i$ ) плазмы, содержащей отрицательные ионы. На примере положительного столба проанализированы условия, при которых имеет место расслоение, и получены выражения для частоты ионизации, профилей концентрации компонент плазмы, положения и ширины границы между электрон-ионной и ион-ионной областями при разных значениях параметров. В ряде случаев границу эту можно рассматривать как скачок, в котором сохраняются потоки компонент.

### Введение

Диффузия газоразрядной плазмы, содержащей положительные и отрицательные ионы и электроны, обладает рядом интересных особенностей. В частности, эксперименты [1, 2] и численные расчеты [3, 4] свидетельствуют, что имеет место расслоение плазмы на области с разным ионным составом. Механизм этого явления в бестоковой плазме<sup>1</sup> состоит в следующем. В отсутствие отрицательных ионов амбиполярное поле

$$\varphi = T_e/e \ln n_e \quad (1)$$

определяется электронной температурой. Так как в газоразрядной плазме, как правило,  $T_e \gg T_i$ , то отрицательные ионы втягиваются в области с повышенной концентрацией электронов  $n_e$  до тех пор, пока отлипание, рекомбинация, ионная диффузия и уменьшение поля по сравнению с (1) не остановят этот процесс. Концентрация отрицательных ионов  $n$  и положительных  $p$  здесь может на порядок превышать  $n_e$  — формируется ион-ионная плазма. В тех же областях, откуда поле вытягивает отрицательные ионы, плазма является электрон-ионной с  $n \leq n_e$ . Попытки получить численное [3, 4] или аналитическое [6] решение этой задачи на примере положительного столба газового разряда наталкивались на значительные трудности. В расчетах [3] частота ионизации электронным ударом  $Z$  (равная обратному среднему времени жизни электрона в столбе), которая должна определяться внешними параметрами разряда — давлением и составом газа, током и радиусом трубки, задавалась как независимый параметр. Расчеты, предпринятые в [4] с учетом инерции ионов и с откатом от приближения квазинейтральности, использовали приближение (1) для поля и пренебрегали ионной диффузией. Как будет показано ниже, это существенно ограничивает применимость уравнений. При этом было ошибочно получено, что не только поток отрицательных ионов, но и остальные потоки заряженных частиц обращаются в ноль на стенке трубки. В [6] было постулировано расслоение столба на области с разным ионным составом, но сшивка решений на их границе была выполнена некорректно.

<sup>1</sup> Формирование резко неоднородных вдоль протекания тока профилей концентрации рассматривалось в [5].

В данной работе получены выражения для профилей концентрации компонент в столбе при различных соотношениях между скоростями прилипания, отлипания и рекомбинации, а также формулы для  $Z$ . Показано, что в ряде случаев граница между электрон-ионной плазмой на границе столба и ион-ионной плазмой в центре является достаточно резкой и может быть аппроксимирована как скачок концентраций  $n$  и  $p$ . Прослежен переход от обычного режима Шоттки, когда отрицательные ионы не влияют на параметры столба, к режиму, в котором ион-ионная плазма занимает почти все сечение трубки.

## 1. Динамика расслоения

Проследим этот процесс на простом примере, когда плазмохимические и рекомбинационно-ионизационные процессы отсутствуют, а концентрация электронов

$$n_e \gg nb_n/b_e, \quad pb_p/b_e, \quad (2)$$

где  $b_j$  — подвижности соответствующих частиц.

При этом выражение для поля сводится к (1). Если пренебречь ионной диффузией, то

$$\frac{\partial p}{\partial t} = \nabla D_{ap} p \nabla \ln n_e, \quad (3)$$

$$\frac{\partial n}{\partial t} = -\nabla D_{an} n \nabla \ln n_e, \quad (4)$$

где  $D_{aj} = D_j T_e / T_i$ . Вычитая (4) из (3) и учитывая условие квазинейтральности  $p = n + n_e$ , получим

$$\frac{\partial n_e}{\partial t} = \nabla D_{\text{eff}} \nabla n_e, \quad D_{\text{eff}} = D_{ap} + \frac{n}{n_e} (D_{ap} + D_{an}). \quad (5)$$

Если в начальный момент  $n \gg n_e$ , то эффективный нелинейный коэффициент диффузии  $D_{\text{eff}}$  велик, и уравнение (5) описывает быстрое выполаживание электронного профиля. Если начальные концентрации  $n(r, t=0)$ ,  $p(r, t=0)$  всюду превышают среднюю концентрацию электронов  $\langle n_e \rangle$ , то в конце этой стадии установится пространственно однородное распределение  $n_e(r, t) = \langle n_e \rangle$ , и в дальнейшем эволюция будет определяться медленной ионной диффузией, не учтенной в (3), (4). Если же в каких-то областях начальная концентрация ионов мала, то здесь может формироваться электрон-ионная плазма. Наиболее прост случай  $D_n \gg D_p$ , когда начальная стадия эволюции происходит при неизменном профиле  $p(r, t) = p(r, t=0)$ . При этом  $\partial n_e / \partial t = -\partial n / \partial t$ , и в процессе выравнивания электронной концентрации в областях, где  $p(r, t=0) \leq \langle n_e \rangle$ , концентрация отрицательных ионов резко падает, согласно (4). Здесь уменьшается эффективный коэффициент диффузии (5), и плазма становится электрон-ионной. На медленной стадии эволюции, когда существенно движение положительных ионов, выравнивание концентрации плазмы в этих областях определяется амбиполярной диффузией с коэффициентом  $D_{ap}$ , тогда как эволюция ион-ионной плазмы определяется гораздо меньшим коэффициентом  $D_p$ .

## 2. Положительный столб. Исходные уравнения

Плазмохимические процессы приводят к неравномерной по сечению генерации электронов и препятствуют выравниванию профиля  $n_e$ . Поэтому стационарные профили определяются достаточно сложными комбинациями плазмохимических и диффузионных процессов. В качестве типичной и наиболее практически важной ситуации рассмотрим положительный столб газового разряда. Систему уравнений запишем в виде

$$\text{div } \Gamma_e = -\frac{1}{r} \frac{d}{dr} r \left( D_e \frac{dn_e}{dr} + b_e n_e E \right) = Zn_e - \alpha n_e + \beta n - \gamma_e n_e p, \quad (6)$$

$$\operatorname{div} \Gamma_p = -\frac{1}{r} \frac{d}{dr} r \left( D_p \frac{dp}{dr} - b_p p E \right) = Z n_e - \gamma_{ei} n_e p - \gamma_{ii} n_p, \quad (7)$$

$$\operatorname{div} \Gamma_n = -\frac{1}{r} \frac{d}{dr} r \left( D_n \frac{dn}{dr} + b_n n E \right) = \alpha n_e - \beta n - \gamma_{ii} n p, \quad (8)$$

$$n + n_e = p, \quad D_j = T_j b_j / e,$$

где  $E$  — радиальное электрическое поле;  $\alpha$ ,  $\beta$ ,  $\gamma_{ei}$ ,  $\gamma_{ii}$  — коэффициенты прилипания, отлипания и рекомбинации, которые для простоты будем полагать постоянными. Из отсутствия радиального тока  $\Gamma_p = \Gamma_e + \Gamma_n$  следует

$$E = \frac{D_p p' - D_n n' - D_e n_e'}{b_p p + b_n n + b_e n_e}. \quad (9)$$

При условии (2) это выражение сводится к (4) — бoльцмановскому распределению для электронов. Ограничимся этим случаем.

При  $\gamma_{ei} = \gamma_{ii} = 0$  системе (6)–(8) с нулевыми граничными условиями для концентрации удовлетворяет бesselев профиль  $n \sim p \sim n_e \sim J_0(2.4 r/a)$  [7]. Ему соответствует, согласно (9), малое радиальное поле порядка  $T_e/(ea)$  и практически свободная диффузия электронов. Они быстро уходят на стенку, и концентрация их и вклад в ток малы (порядка  $D_i/D_e$  и  $b_i/b_e$  от ионных). Частота ионизации  $Z$  при этом велика, так как она должна уравновешивать большую униполярную электронную диффузию и прилипания, а не амбиполярную, как в обычном решении Шоттки

$$Z - \alpha + \frac{\alpha + Z D_n / D_p}{1 + 2/(\beta \tau_n)} = \frac{1}{\tau_e}, \quad \tau_j = \left( \frac{a}{2.4} \right)^2 / D_j. \quad (10)$$

Однако решение это соответствует направленным к стенке потокам  $\Gamma_j$  лишь при крайне малом отлипании  $\beta < \beta_0$ . При  $\beta > \beta_0$  оно теряет физический смысл — поток  $\Gamma_n(r=a) < 0$  оказывается направлен в глубь плазмы. При  $\beta > \beta_0$  физически осмысленное решение удовлетворяет как нулевым граничным условиям для концентрации, так и условию  $\Gamma_n(r=a) = 0$ . Уравнение для  $\beta_0$  нетрудно получить, приравнявая к нулю радиальный поток  $\Gamma_n(r=a)$  при бesselевом профиле концентрации и используя (10). При  $D_n = D_p$  оно имеет вид

$$\alpha \tau_e (2 + 2\beta_0 \tau_n - T_i / T_e) = \beta_0 \tau_n (\beta_0 \tau_n + 1) (1 - T_i / T_e)$$

и имеет решение лишь при  $T_e > T_i$ .

Если  $T_e \gg T_i$ , то

$$\beta_0 = 2\alpha D_p / D_e. \quad (11)$$

### 3. Профили со скачками концентраций $n$ , $p$

Умножив уравнения (7), (8) на  $D_n$ ,  $D_p$  и сложив их, получим, используя (1) и  $T_e \gg T_i$ ,

$$-\frac{1}{r} \frac{d}{dr} r \left( +2n' + \frac{T_e}{T_i} n_e' \right) = Z n_e / D_p + (\alpha n_e - \beta n) / D_n. \quad (12)$$

Уравнение же для отрицательных ионов имеет вид

$$\frac{1}{r} \frac{d}{dr} r (-n' + T_e n n_e' / (T_i n_e)) = (\alpha n_e - \beta n) / D_n. \quad (13)$$

На периферии плазмы  $n \ll n_e$ , так что при  $\alpha > \beta$  отлипание несущественно — поток  $\Gamma_n$  определяется прилипанием. Пренебрегая в (12) отлипанием и ионной диффузией, получим, что на периферии

$$n_e(r) = F J_0(xr) + F_1 N_0(xr), \quad x = \sqrt{(Z/D_p + \alpha/D_n) T_i / T_e}. \quad (14)$$

Если ширина этой зоны электрон-ионной плазмы  $L \sim \kappa^{-1}$  мала по сравнению с радиусом трубки  $a$ , то геометрия здесь является плоской

$$n_e(x) = F \sin(\kappa x), \quad (15)$$

где координата  $x$  отсчитывается от стенки.

Ниже будет показано, что условие  $L \ll a$  выполняется, если

$$\bar{\alpha} \gg \max\{1; \bar{\beta}\}, \quad (16)$$

где  $\bar{\alpha}$ ,  $\bar{\beta}$  выражены в единицах обратного амбиполярного времени жизни  $\tau_{an} = (a/2.4)^2 T_i / (T_e D_n)$  — в областях параметров  $I, II$  на рис. 1.

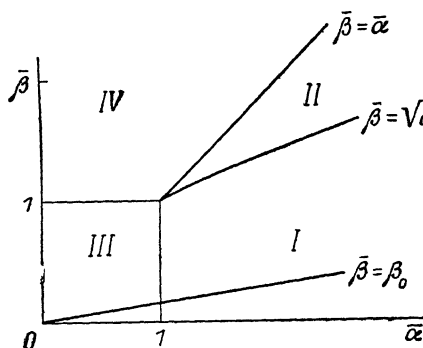


Рис. 1.

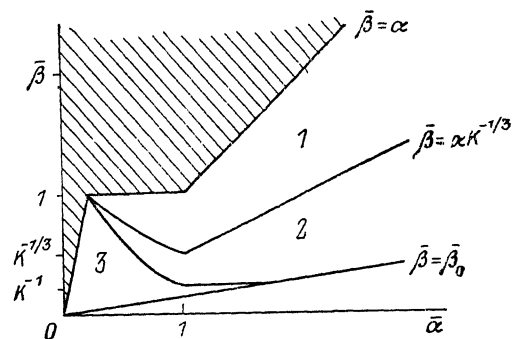


Рис. 2.

Концентрацию же отрицательных ионов найдем из (13), опустив ионную диффузию (первый член слева; вдали от  $x = L$  он порядка  $T_i/T_e \ll 1$  от второго)

$$n(x) = \alpha F \sin(\kappa x) \frac{\cos^{\bar{\beta}-1}(\kappa x) - 1}{\alpha - \bar{\beta} + Z D_n / D_p}. \quad (17)$$

Так как в областях  $I, II$

$$\bar{\beta} = \beta / (\alpha + Z D_n / D_p), \quad (18)$$

то выражение (17) расходится:  $n(x)$  неограниченно растет при  $x \rightarrow \pi / (2\kappa)$ . Объясняется это тем, что поле обращается в нуль в этой точке, тогда как поток  $\Gamma_n$ , обусловленный прилипанием во внешней области, конечен. Точку  $x = L = \pi / (2\kappa)$  естественно считать границей между электрон-ионной и ион-ионной плазмами. В переходной области  $n$  и  $p$  резко растут до значений, намного превышающих  $n_e$  (15). В центральной области при  $\bar{\beta} \gg T_i / T_e$  члены в левой части (12) малы по сравнению с правой вследствие (18), так что

$$n/n_e = (\alpha + Z D_n / D_p) / \beta. \quad (19)$$

Подставив (19) в (13), получим

$$n_e = F' J_0(\kappa_1 r), \quad \kappa_1 = \sqrt{\frac{\beta Z T_i}{(a D_p + Z D_n) T_e}}. \quad (20)$$

Найденные профили надо сшить в точке  $x = L \ll a$ . Концентрация электронов  $n_e$  должна быть непрерывна в этой точке

$$F = F' J_0(\kappa_1(a - L)). \quad (21)$$

В центральной области, где  $n \approx p$  и ионная диффузия незначительна, полевые потоки ионов удовлетворяют

$$|\Gamma_n / D_n| = \Gamma_p / D_p. \quad (22)$$

Если переходную область можно рассматривать как скачок, то потоки  $\Gamma_n, \Gamma_p$  в ней сохраняются и (22) можно рассматривать как второе условие сшивки. Так как в областях I, II отлипание не влияет на  $\Gamma_n$ , то получим

$$|\Gamma_n(x=L)| = \alpha \int_0^L n_e dx = \frac{2}{\pi} \alpha FL. \quad (23)$$

Поток же  $\Gamma_p$  есть

$$\Gamma_p(x=L) = Z \int_0^{a-L} r dr n_e(r) / (a-L) = Z F' J_1(x_1(a-L)) / x_1. \quad (24)$$

Подставив (23), (24) в (22), получим уравнение, определяющее частоту ионизации  $Z$ , а следовательно, и аксиальное поле в столбе

$$\frac{\bar{\alpha} \sqrt{\bar{\beta}}}{\sqrt{Z}(\bar{Z} + \bar{\alpha})} = J_1 \left[ y = \sqrt{\frac{\bar{\beta} Z}{Z + \bar{\alpha}}} 2.4 \left( 1 - \frac{\pi}{4.81} (\bar{Z} + \bar{\alpha})^{-1/2} \right) \right] / J_0(y), \quad (25)$$

где

$$\bar{Z} = Z(a/2.4)^2 T_i / (D_p T_e) = Z \tau_{ap}$$

В области I на рис. 1 аргумент бесселевых функций мал, так что из (25) имеем

$$\bar{Z} = 2\sqrt{\bar{\alpha}}/2.4 \gg 1, \quad L/a = \pi/(4.81\sqrt{\bar{\alpha}}) \ll 1, \quad (x_1 a)^2 = 4.81\bar{\beta}/\sqrt{\bar{\alpha}} \ll 1. \quad (26)$$

В центральной области концентрации  $n$  и  $n_e$  почти постоянны:  $n = \alpha F / \beta$ . Если же  $\bar{\alpha}, \bar{\beta} \gg 1, \bar{\alpha} \gg \bar{\beta} \gg \sqrt{\bar{\alpha}}$  (в области II), то левая часть (25) велика и аргумент бесселевых функций

$$y \approx x_1 a = 2.4 \sqrt{\bar{\beta} Z (\bar{Z} + \bar{\alpha})} \approx 2.4.$$

Отсюда следует

$$\bar{Z} = \alpha/\beta, \quad \sqrt{\bar{\alpha}} \ll \bar{Z} \ll \bar{\alpha}, \quad L/a = \pi/(4.81\sqrt{\bar{\alpha}}) \ll 1,$$

а профили  $n(r), n_e(r)$  в центральной области близки к бесселевым с нулевым граничным условием, т. е. концентрации на границе центральной области намного меньше, чем в центре. Отношение это, согласно (23, 24), есть

$$\frac{F'}{F} = \frac{n(0)}{n(a-L)} = \frac{2\bar{\alpha}x_1}{\pi x \bar{Z} J_1(2.4)} = \frac{2\bar{\beta}}{\pi(2.4)^2 J_1(2.4)\sqrt{\bar{\alpha}}} \gg 1.$$

При значениях параметров, соответствующих областям III, IV на рис. 1, частота ионизации  $Z=1$ , как и в отсутствие отрицательных ионов. В этом смысле такой разряд близок к обычному режиму Шоттки. Но концентрация  $n$  в центральной области может намного превышать электронную. В области IV всюду  $n < n_e$ . Пренебрегая ионной диффузией в (13) и положив  $n_e = F J_0(\xi)$ , где  $\xi = 2.4 r/a$ , получим

$$n(\xi) = \alpha n_e(\xi) [\xi J_1(\xi)]^{\beta-1} \int_{\xi}^{2.4} \frac{\xi' J_0(\xi') d\xi'}{[\xi' J_1(\xi')]^{\beta}}. \quad (27)$$

При  $\xi \rightarrow 0$  имеем  $n(0) = \alpha/\beta n_e(0) \ll n_e(0)$ . При параметрах, соответствующих области III, резкий рост  $n(r)$  и переход к ион-ионной плазме происходит в точке  $r=r_0$ , где

$$n'_e(r_0) \approx 0. \quad (28)$$

Поэтому коэффициент при функции Неймана в (14) мал. Граничное условие для  $n_e$  при  $r=a$  дает  $\bar{Z} + \bar{\alpha} \approx \bar{Z} = 1$ .

Если переходная область между центром и периферией тоньше, чем  $r_0$ , то (20) в области III сводится к  $n_e(r) = \text{const} \approx F$ .

Приравняв на границе  $r=r_0$  потоки  $\Gamma_n/D_n = -\Gamma_p/D_p$ , получим

$$(r_0/a)^2 = 2J_1(2.4) \bar{\alpha}/2.4 \approx \bar{\alpha}/2.4 \ll 1. \quad (29)$$

Разлагая (20) при малых  $r$  и подставив в (28), имеем

$$F_1/F = \pi/4 (2.4r_0/a)^2 \approx 0.6\pi\bar{\alpha} \ll 1.$$

#### 4. Структура переходной области

Здесь концентрации  $n(r)$ ,  $p(r)$  резко меняются. Рассмотрим процессы, определяющие толщину этой области и условия, при которых ее можно считать тонкой, т. е. применимы полученные выше соотношения. В областях  $I$ ,  $II$  будем рассуждать следующим образом. Пусть в переходной области ионная диффузия незначительна. Тогда  $n(r)$  возрастает, согласно (17), до значения (19), когда в (12) становится существенно отлпание. Характерный масштаб изменения  $n(r)$  есть

$$\delta = (n/n') \sim \beta/(x\alpha). \quad (30)$$

Ионная диффузия неважна, если диффузионный член  $2D_n n''$  в (12) мал по сравнению с  $\beta n$

$$2D_n n'' \sim 2D_n n/\delta^2 \sim D_n n_e x^2 \alpha^3/\beta^3 \ll \beta n_e/(\beta/\alpha)$$

при

$$(\beta/\alpha)^3 \gg T_i/T_e = K^{-1}. \quad (31)$$

Соответствующая область на плоскости  $\bar{\alpha}$ ,  $\beta$  есть  $I$  на рис. 2. В области же  $2$  переход уширяется из-за диффузии. Здесь член  $n_e''$  в (12) уменьшается от  $\sim x^2 F$  до  $\sim x^2 F$ . Пренебрегая им, получим

$$2D_n n'' = -(\alpha + ZD_n/D_p)F + \beta n$$

— уравнение движения в «потенциале»  $[-\beta n^2/2 + (\alpha + ZD_n/D_p)Fn]$ . Оно имеет решение, описывающее переход от малых  $n$  к состоянию, соответствующему максимуму «потенциала» — к внутреннему профилю (19), с характерным масштабом  $\sqrt{D_n/\beta}$ , которое имеет вид

$$n = \alpha F/\beta [1 - \cos(x\sqrt{\beta/D_n})]. \quad (32)$$

При  $\bar{\alpha}$ ,  $\beta < 1$  масштаб изменения  $n(r)$  в переходной области, аналогичный (30), в пренебрежении ионной диффузией есть  $\beta r_0$ , где  $r_0$  дается (29). Сравнивая его с  $\sqrt{D_n/\beta}$  — масштабом диффузионного перехода (32), получим, что диффузия ионов незначительна при  $\beta \bar{\alpha}^{1/3} > K^{-1/3}$  (область  $I$  на рис. 2). В области же  $2$  переход определяется диффузией и имеет толщину  $\sim \sqrt{D_n/\beta}$ . Концентрация  $n$  при этом, согласно (19), в  $\beta^{-1}$  раз превышает электронную. Если не учитывать структуру переходной области, то и в этом случае ее можно рассматривать как скачок в  $n(r)$ , на котором непрерывны  $n_e$ ,  $\Gamma_n$ ,  $\Gamma_p$  и  $\Gamma_n/D_n = -\Gamma_p/D_p$ . Если же масштаб  $\sqrt{D_n/\beta}$  превышает  $r_0$  (29), то диффузия существенна всюду в центральной области и представление о скачке и формулы (19)—(29) здесь неприменимы. Диффузия ионов уширяет область ион-ионной плазмы в центре по сравнению с (29) и понижает здесь концентрацию по сравнению с (19).

#### 5. Область ион-ионной плазмы, определяемая диффузией

Отрицательные ионы собираются в малой области вблизи оси трубки, поэтому в электрон-ионной плазме у границы с ион-ионной, согласно (14),

$$n_e = F \left( 1 - \left( \frac{2.4r}{2a} \right)^2 \right) - F_1 \frac{2}{\pi} \ln(a/r),$$

$$n = \Gamma_n T_i / (D_n T_e) = 0.51 \cdot 2.4 F \bar{\alpha} / [(2.4r/a)^2 - 2F_1/(\pi F)]. \quad (33)$$

Так как в внутренней области  $n_e \ll n \ll n_e/\beta$ , то оставим в (12) ионную диффузию и ионизацию

$$-\frac{2D_p}{r}(rn')' = ZF,$$

откуда

$$n = G - ZFr^2/(8D_p). \quad (34)$$

Сшивая (33) и (34) с производной, получим два уравнения для трех неизвестных  $F_1$ ,  $G$  и  $r_0$  — координаты точки сшивки. Третье условие получим, приравняв прилипание на периферии отлипанию в центре

$$\int_0^{r_0} \beta n r dr = \int_{r_0}^a \alpha n_e r dr \approx \alpha F a^2 \cdot 0.51/2.4. \quad (35)$$

Обозначив  $v = 2.4 r_0/a$ , получим

$$v^2(G/F - Kv^2/16) = 2 \cdot 0.51 \cdot 2.4\alpha/\beta,$$

а из сшивки следует

$$v^2 - 2F_1/(\pi F) = 8 \cdot 0.51 \cdot 2.4\bar{\alpha}/(8G/F - Kv^2).$$

Так как в области III (рис. 1)  $\beta < 1$ , то

$$v^2 \approx \sqrt{32 \cdot 0.51 \cdot 2.4\bar{\alpha}/(K\beta)} \ll 1. \quad (36)$$

Относительная же концентрация отрицательных ионов в начале координат есть

$$G/F \approx \sqrt{0.51 \cdot 2.4K\bar{\alpha}/(2\beta)}. \quad (37)$$

Таким образом, если  $\bar{\alpha}/\beta \ll K^{-1}$ , то  $G/F \ll 1$  и профиль концентрации всюду мало отличается от бesselова. Соответствующая область параметров заштрихована на рис. 2.

## 6. Учет объемной рекомбинации

В общем случае он достаточно сложен. Учтем, что в первую очередь рекомбинация сказывается в ион-ионной плазме в центре трубки, где концентрации ионов могут быть высоки. Поэтому в правых частях уравнений (7), (8) удержим дополнительно к ионизации, прилипанию и отлипанию лишь ион-ионную рекомбинацию. Ограничимся ситуацией, когда применимо представление о скачке, а профили концентрации в центральной области близки к постоянным. Сложив уравнения для положительных и отрицательных ионов, получим вместо (19)

$$n_e(\alpha + ZD_n/D_p) = \beta n + \gamma_{ii} n p (1 + D_n/D_p). \quad (38)$$

Во внешней же области по-прежнему имеет место профиль (15), (17) или (14), (27). Во внутренней области ионизация может быть в основном уравновешена рекомбинацией, так что получить уравнение, определяющее частоту ионизации  $Z$ , приравняв  $\Gamma_n/D_n = -\Gamma_p/D_p$  на границе областей, затруднительно. Получим это соотношение (отметим, что так же можно получить и (23), (27)), приравняв поток отрицательных ионов из внешней области их гибели во внутренней и используя (38)

$$\alpha \int_a^{a-L} n_e r dr = \int_0^{a-L} r dr (\beta n + \gamma_{ii} n p - \alpha n_e) = D_n/D_p \int_0^{a-L} (n_e Z - \gamma_{ii} n p) r dr. \quad (39)$$

Уравнения (38), (39) определяют  $n/n_e$  в центральной области и  $Z$ . При  $\bar{\alpha} \gg 1$ , например, по-прежнему  $L \ll a$ . Если в центральной области  $n_e \approx F = \text{const}$ , то при

$$\Gamma = F\gamma_{ii} (a/2.4)^2 T_e/(D_p T_i) < \beta^2/\bar{\alpha}^{3/2}$$

рекомбинация несущественна и имеет место

$$\bar{Z} = \sqrt{\bar{\alpha}}/1.2, \quad N = n/F = \alpha/\beta.$$

При  $\beta^2/\bar{\alpha}^2 < \Gamma < \beta^2/\bar{\alpha}^{3/2}$  имеем

$$N = \alpha/\beta, \quad \bar{Z} = \Gamma (\alpha/\beta)^2.$$

Если же  $\beta^2/\bar{\alpha}^{3/2} < \Gamma < \bar{\alpha}D_n/D_p$ , то

$$N = \sqrt{\bar{\alpha}D_n/(\Gamma D_p)}, \quad \bar{Z} = \bar{\alpha}D_n/D_p.$$

#### Литература

- [1] *Thompson J. B.* // Proc. Roy. Soc. 1961. Vol. 262. P. 503—528.
- [2] *Smith D., Plumb J. C.* // J. Phys. D. 1983. Vol. 6. N 12. P. 1431—1446.
- [3] *Sabadil H.* // Beitrage Plasmaphys. 1973. Bd 13. N 4. S. 235—251.
- [4] *Edgley P. D., von Engel A.* // Proc. Roy. Soc. 1980. Vol. A370. P. 375—387.
- [5] *Высикайло Ф. И., Цендин Л. Д.* // Физика плазмы. 1985. Т. 12. № 10. С. 1206—1210.
- [6] *Цендин Л. Д.* // ЖТФ. 1985. Т. 55. Вып. 12. С. 2318—2322.
- [7] *Конюков М. В.* // ЖЭТФ. 1958. Т. 34. № 4. С. 908—911. Там же. № 6. С. 1634—1635.

Ленинградский политехнический  
институт им. М. И. Калинина

Поступило в Редакцию  
12 января 1988 г.